

防衛大学校土木工学科教室 正会員 山田 正
 同上 正会員 池内 正幸
 同上 堀江 良徳

1. はじめに 一般に山地流域の降雨流出系は斜面と河道部の流れに大別されよう。そのうち斜面流れは浸透流および部分的な表面流状としてとらえうることが近年の内外の研究によつて次第に明らかにされてゐる。一方河道部の流れに関しては水文学的にはいままで明らかにされていない部分も多いようである。ところが山地河川の急流部においては河床形状が一見不規則あるいは不規則に近い形状とみなし得るところが河川である。本研究は上記の水文学的見地から不規則底面上の開水路流れに関するものの抵抗則や水面形を明らかにすることを目的としたものであるが、本報告では主に水面形の問題が扱われている。

2. 実験装置 實河川は移動床をもつて二次元的な広がりをもつた河床形状をしているが、ここでは研究の第一段階として一次元的(流れ方向にのみ変化する)な水路床の流れを扱つた。用いた水路は幅50cm、長さ13mの可変勾配開水路である。本研究でははじめに水路床形状が規則的なSine形をしている場合を調べ、つづいて水路床形状として $\sum_{n=1}^{\infty} a_n \sin(n\pi x/L)$ で与えられる(一見)不規則な床形状の場合の流れにつき検討した。以後二つの場合をそれぞれケースA、ケースBと略称す。ケースAの河床波の振幅は5cm、波長は50cm、ケースBの場合の河床波は正弦式で $m = 6$ 、 a_n はすべて20.6cm、 L は 30, 60, 90, 120, 150, 180 cm である。なお路床ははじめアクリル板で作ったが抵抗が小さすぎるために図1に示す水面形状しか得られないため、後に市販のビニール製波板(波高0.8cm、波長3.2cm)をその上に敷き、粗度を大きくすることにより壁面抵抗を増した。さらに水路の末端部には風洞用のハーカムを置き、水路端部からの波の反射を極力抑えた。水面形はガラスばりの側面を通して、カメラによより写真撮影により行なつた。撮影ではシャッター速度を遅くし(2秒程度開放)、多少ゆれ動く水面形の平均的な形状をとつてある。その他に壁面に沿う圧力分布や壁面せん断応力の分布の測定では、外径1mmの静圧管およびフレストン管を行い、流速分布の測定には通常のピトー管のはかに、レーザー流速計も併用している。

3. 実験結果 ケースAの路床がSine

曲線の場合: この場合には(i)流速が大きくなる射流が現れる場合と、(ii)水路全長にわたって常流で流れの場合につき分けて調べてある(本報告では(iii)の場合は載せていない)。図1はSine形の路床上で水路全長にわたりて射流で流れている場合の水面形(以後射流の水面形とする)と流線と、図2はいわゆるショット&ホールの状態で流れている水面形とそのときの流線を示してある。図3, 4はそれと流れに沿う摩擦速度 U_x の分布、および流れに沿う壁面圧力(水頭)の分布を示してあり、実験条件は図1, 2に対応している。

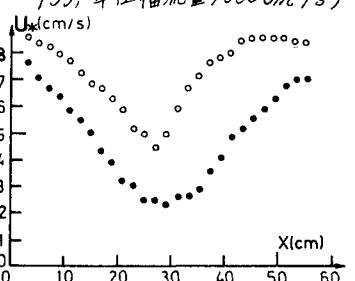
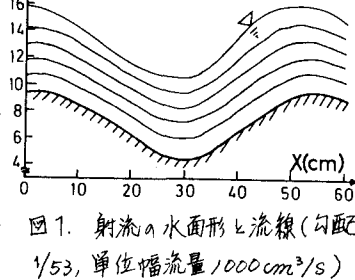


図1. 射流の水面形と流線(勾配1/53、単位幅流量1000cm³/s)

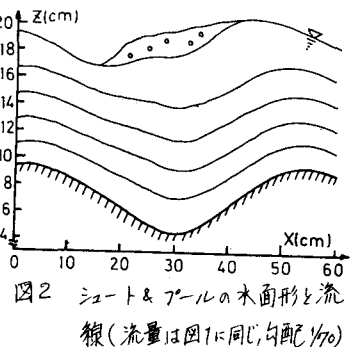


図2 ショット&ホールの水面形と流線(流量は図1と同じ、勾配1/53)

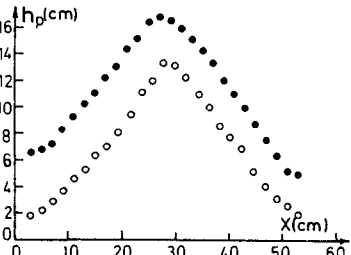


図4. 流れに沿う壁面圧力分布(水頭表示)
(図中○:図1に対応、●:図2に対応)

これらの図より壁面近傍の流線形状には両者の間にそれほど顕著な差はないにもかかわらず壁面せん断応力の値およびその分布形は大きく異なっている。特にシートスワールから射流の水面形が現れる遷移時には壁面せん断応力の値が大きくシャンプすることができる、と。図5, 6は水面形遷移における水面変化の様子を模式的に示したものである。

この図よりシートスワールから射流への遷移は上流側から生じ、一方射流の水面形からシートスワールへの遷移は下流側から伝わるといえる。またこれらの現象には衝撃波が水路幅一様に広がるか否かが重要なkeyとなるようである。図7は上記の遷移現象についてそのときの流量および勾配について表わしたものである。この図より水面形の遷移はただ一本の(I, 8)関係を示す曲線では表わされず、過去の水面形がどちらの形であれいかによつて異なる(I, 8)関係となることがわかる(水面形遷移における履歴効果)。

ケースBの不規則底面の場合: 写真1(a), (b), (c)はこのときの水面形を示すものである。この写真より下とえ底面が不規則形をしていようと、常流のときには現れる水面形はsin形をしていことがある。この水面形は定在波の特性を有しているが、図8はこのときの波の波長(無次元表示 $k_{oh} = 2\pi h/L_0$, L_0 : 波長)とフルード数の関係を示したものである。図中の実線は $Fr = \sqrt{\tanh k_{oh}/k_{oh}}$ (hは平均水深)を示している。本実験が得られた定在波の波長が上式の関係をよく満たしていことがある。これは流れの平均流速 = 波長 L_0 をもつ微小振幅波の位相速度という関係を満たしていふことを意味していふ(それがから定在波として存在し得る)。結局不規則底面上の流れでは、底面の不規則性によりさまざまな波長をもつた水面波が誘起されるが、そのうち上記の関係を満たす運動成分のみが定在波として存在し得るのであれば推測される。現在、このような観察から理論解析を進めている。なお上記の現象は、不規則外力を受ける振動の問題において(減衰度が小さいとき)、固有振動が誘起されるといふ現象をアノロジー的にも考えられよう。図9はフルード数に対する現れる定在波の波高を示している。この図より波高は大略フルード数の増加とともに大きくなることがある。フルード数が0.8より大きくなると、水路の一部でシートスワールの水面形が現れるが、これが不規則底面上へ流れの一つの特性であると思われる。

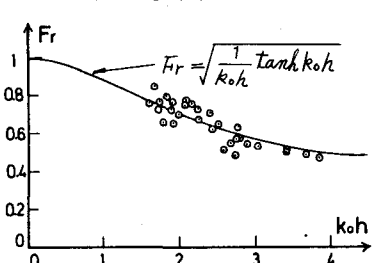


図8 不規則底面上の流れに現れる定在波の波長とフルード数の関係

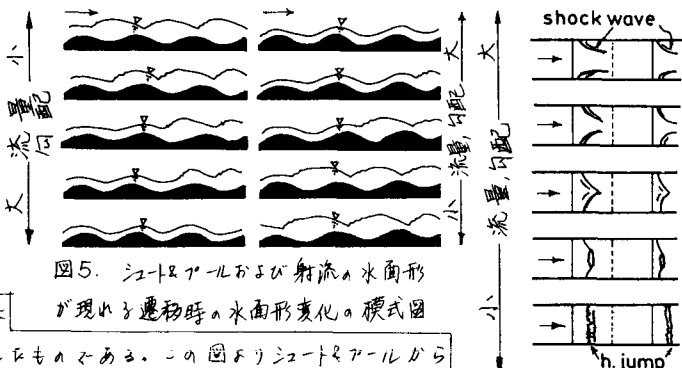


図5. シートスワールおよび射流の水面形が現れる遷移時の水面形変化の模式図

図6. 図5の平面図

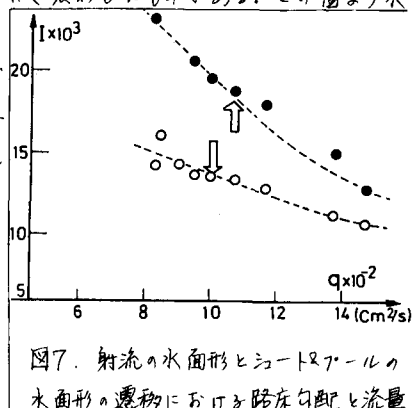
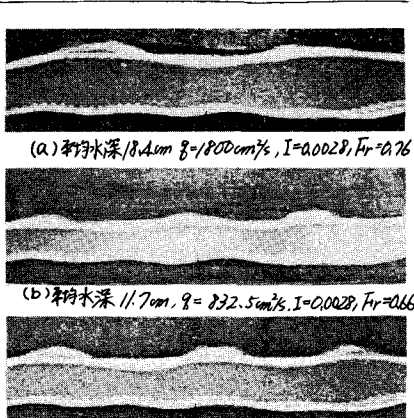


図7. 射流の水面形とシートスワールの水面形の遷移における水路勾配と流量



(a) 平均水深 8.4cm, $q = 1800 \text{ cm/s}$, $I = 0.0028$, $Fr = 0.76$
 (b) 平均水深 11.7cm, $q = 832.5 \text{ cm/s}$, $I = 0.028$, $Fr = 0.76$
 (c) 平均水深 14.5cm, $q = 1212 \text{ cm/s}$, $I = 0.028$, $Fr = 0.70$

写真1 不規則底面上の水面形(平均的
なフルード数は全て1以下である)

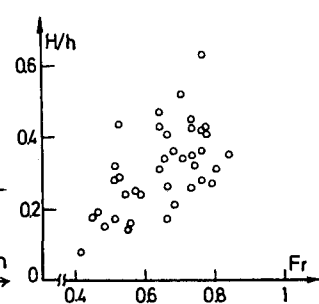


図9. 不規則底面上の流れに現れる定在波の波高とフルード数